

## СОПРОТИВЛЕНИЕ ЭЛЕКТРОДОВ РЕЛЬСОТРОНА ПРИ РАСПРЕДЕЛЕННОЙ ПЕРЕМЫЧКЕ

А. Д. Лебедев, Б. А. Урюков, В. В. Савичев

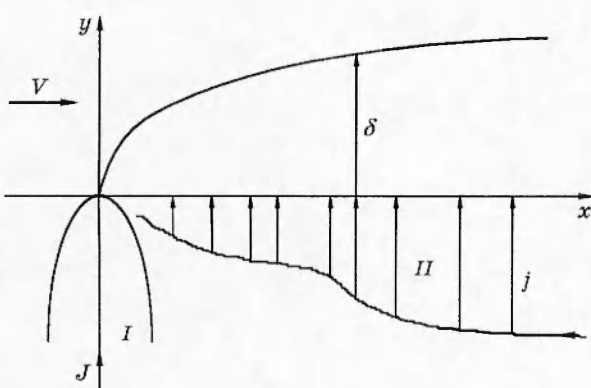
Научно-учебный комплекс фундаментальной науки МГТУ им. Н. Э. Баумана, 107005 Москва

Представлены результаты расчета сопротивления электродов рельсотрона при распределенной и сосредоточенной токовой перемычке. Для решения задачи использовалось квазистационарное уравнение диффузии магнитного поля. Приведены результаты точного и приближенного решений. При сложной картине распределения тока на границе предлагается находить не сопротивление электрода, а перепад напряжений.

Сопротивление протеканию тока по электродам рельсотрона, когда токовая перемычка перемещается вдоль электродов, отличается от сопротивления «неподвижной» конструкции. Это происходит потому, что ток не распределяется по всему сечению электрода, а ограничен узкой областью, прилегающей к рабочей поверхности. Эффект «скоростного» скин-слоя и его проявления рассматривались в ряде работ (см., например, [1, 2]). Электросопротивление, в частности, рассчитывалось в работе [3]. Схема плоской задачи представлена на рисунке: ток протекает по электродам в пределах скин-слоя  $\delta$  и по перемычке, имеющей точечный контакт  $I$  с электродами в плоскости продольного сечения. Для решения использовалось квазистационарное уравнение диффузии магнитного поля в системе координат, связанной с перемычкой. В приближении «пограничного слоя» изменяемость поперечной составляющей плотности тока  $j_y$  в направлении  $x$  много меньше, чем изменяемость продольной составляющей  $j_x$  в направлении  $y$ . Это уравнение может быть записано в виде

$$\mu_0 \sigma V \frac{\partial B}{\partial x} = \frac{\partial^2 B}{\partial y^2}, \quad (1)$$

где  $V$  — скорость перемещения массы электрода относительно контакта;  $\mu_0$  — магнитная проницаемость вакуума;  $\sigma$  — проводимость среды;  $B$  — индуктивность магнитного поля.



Картина протекания тока между электродами и перемычкой:  
I — сосредоточенная перемычка, II — распределенная перемычка

В предположении о том, что индукция магнитного поля зависит лишь от одной автомодельной переменной  $\eta \approx y/\sqrt{x}$ , удается свести уравнение (1) к обыкновенному дифференциальному уравнению второго порядка, решая которое, можно найти выражение для продольной плотности тока:

$$j_x = \frac{J}{b} \sqrt{\frac{\mu_0 \sigma V}{\pi x}} \exp \left( -\frac{\mu_0 \sigma V y^2}{4x} \right) \quad (2)$$

( $b$  — ширина электрода;  $J$  — ток, протекающий по электроду). Отсюда следует, что характерный поперечный размер зоны протекания тока в электроде  $\delta = J/bj_x(y=0) = \sqrt{\pi x/\mu_0 \sigma V}$ .

При выводе соотношения (2) использовалось условие, что поперечный размер электрода по высоте значительно больше  $\delta$ .

Сопротивление  $R$  протеканию тока по электроду определяется из выражения для джоулева тепловыделения в сечении электрода:

$$Q = b \int_0^\infty j_x^2 \frac{dy}{\sigma}, \quad (3)$$

записанного в стандартной электротехнической форме:

$$Q = j_x^2 \left( \frac{dR}{dx} \right). \quad (4)$$

Отсюда  $R = 1/b \sqrt{2\mu_0 V x / \pi \sigma}$ .

Аналогичный подход применим и для случая распределенной перемычки II (см. рисунок). Допустим, что зависимость  $B(x, y)$  имеет следующий вид:

$$B = f(x)\beta(\eta), \quad (5)$$

где  $\eta = y\mu_0 \sigma V / 2x$  — автомодельная переменная.

Подстановка выражения (5) в исходное уравнение (1) показывает, что решение в виде (5) может иметь место только, если

$$f(x)_- = ax^\alpha, \quad (6)$$

где  $a, \alpha$  — постоянные. При этом уравнение для  $\beta$  имеет вид

$$\ddot{\beta} + \eta \dot{\beta} - 2\alpha\beta = 0. \quad (7)$$

Частный случай  $\alpha = 0$  отвечает решению, описанному выше (см. формулу (2)). Общее решение уравнения (7) может быть представлено в элементарных функциях, если  $2\alpha$  — целое число ( $2\alpha = n$ ) [4]:

$$\beta = e^{-(\eta^2/2)} \frac{d^n}{d\eta^n} \left[ e^{\eta^2/2} \left( c_1 + c_2 \int e^{\eta^2/2} d\eta \right) \right],$$

где  $c_1, c_2$  — постоянные интегрирования.

Полагая, как и ранее, что поперечный размер электрода значительно больше характерного поперечного размера зоны концентрации магнитного поля, можно получить граничное условие

$$\beta \rightarrow 0 \quad \text{при} \quad \eta \rightarrow \infty.$$

Отсюда следует, что  $c_1 = 0$ , а  $c_2$  можно объединить с постоянной  $a$ . Таким образом, выражение для  $\beta$  примет вид

$$\beta = e^{-(\eta^2/2)} \frac{d^n}{d\eta^n} \left[ e^{\eta^2/2} \int_\eta^\infty e^{-(\eta^2/2)} d\eta \right].$$

Из уравнения Максвелла

$$j_x = \frac{1}{\mu_0} \frac{\partial B}{\partial y}, \quad j_y = -\frac{1}{\mu_0} \frac{\partial B}{\partial x} \quad (8)$$

получаем

$$j_x = -\sqrt{\frac{\sigma V}{2\mu_0 x}} f(x) \frac{d\beta}{d\eta}, \quad j_y = -\frac{f(x)}{\mu_0 x} \left( \beta - \frac{\eta}{2} \frac{d\beta}{d\eta} \right). \quad (9)$$

Используя (3) и (4) и учитывая, что на поверхности электрода ( $y = 0$ )

$$B = B_0 = -\frac{\mu_0 J}{b} \quad (10)$$

( $J$  — локальное значение силы тока в сечении электрода), находим

$$R = \frac{1}{b} \sqrt{\frac{2\mu_0 V x}{\pi \sigma}} \gamma(n), \quad (11)$$

где множитель  $\gamma(n)$  зависит от закона переноса тока через границу раздела электрода и перемычки

$$\gamma(n) = \frac{\sqrt{\pi}}{\beta^2(0)} \int_0^\infty \left( \frac{d\beta}{d\eta} \right)^2 d\eta.$$

В таблице представлены результаты точного и приближенного расчетов  $\gamma$  для нескольких значений  $n$ , а также относительная погрешность приближенного расчета  $\varepsilon$ . Видно, что при распределенной перемычке ( $n \neq 0$ ) сопротивление электрода увеличивается в сравнении с сосредоточенной ( $n = 0$ ).

$n$	$\gamma_{\text{точн}}$	$\gamma_{\text{пр}}$	$\varepsilon, \%$
0	1	0,8862	11,4
1	1,3013	1,2533	3,69
2	1,5621	1,5350	1,73
3	1,7902	1,7724	1,00
4	1,9941	1,9817	0,62

Приведенное точное решение применимо в ограниченном классе закономерностей токопереноса через границу, когда на всем протяжении рабочей поверхности электрода нормальная плотность тока имеет единую степенную зависимость от длины.

В реальных ситуациях перемычек может быть несколько и ток по-разному может переноситься в зонах контакта с ними.

Рассмотрим приближенное решение задачи, основанное на методе, аналогичном методу «интеграла теплового баланса» Гудмена [5], который успешно применяется в решении сложных задач теплопереноса (см., например, [6, 7]). Проинтегрируем уравнение (1) по координате  $y$ , используя уже упоминавшиеся условия о том, что поперечный размер электрода значительно больше  $\delta$ :

$$\mu_0 \sigma V \frac{d}{dx} \int_0^\infty B dy = -\frac{\partial B}{\partial y} \Big|_{y=0}. \quad (12)$$

Пусть распределение индукции магнитного поля задано в виде

$$B = B_0 \exp\left(-\frac{y}{\delta}\right), \quad (13)$$

где  $B_0$  — известная величина, определенная зависимостью (10), а  $\delta$  — неизвестная функция координаты  $x$ .

Подставив (13) в (12), получим

$$\frac{d}{dx} B_0 \delta = \frac{B_0}{\mu_0 \sigma V \delta}. \quad (14)$$

В данном случае в соответствии с (8)  $j_x = -(B_0/\mu_0 \delta) \exp(-y/\delta)$ , поэтому из (3), (4), используя (10), получим

$$\frac{dR}{dx} = \frac{1}{2b\sigma\delta}. \quad (15)$$

Зависимость  $\delta(x)$  находится из (14):

$$\frac{d}{dx} (J\delta)^2 = \frac{2J^2}{\mu_0 \sigma V}. \quad (16)$$

Погрешность данного расчета можно определить, сопоставляя его с точной моделью. В рамках точного решения в соответствии с (6), (9) имеем  $j_y(0) \approx x^{\alpha-1}$ ,  $j_y \approx x^\alpha$ . Тогда из (16) следует

$$\delta^2 = \frac{2}{n+1} \frac{x}{\mu_0 \sigma V},$$

а из (15)

$$R = \frac{1}{b} \sqrt{\frac{n+1}{2}} \frac{\mu_0 V x}{\sigma}.$$

Используя (11), получим, что в приближенной модели  $\gamma(n) = \sqrt{(\pi/4)(n+1)}$ . С ростом  $n$  различие между приближенным и точным расчетами уменьшается. В частности, при равномерном переносе тока ( $n = 2$ ) разница составляет около 2%.

При сложной картине распределения перетекания тока на границе удобно находить не сопротивление того или иного участка электрода, а перепад напряжений. Для этого соотношение (4) следует записать в виде  $Q = -J(dU/dx)$ , где  $U$  — потенциал в объеме электрода. Тогда с помощью (3), (10) и (13) получаем  $dU/dx = B_0/(2\mu_0 \sigma \delta)$ . Используя (14), находим

$$U = U_0 + \frac{V}{2} B_0 \delta \quad (17)$$

( $U_0$  — потенциал при  $\delta = 0$ , т. е. на переднем фронте первой перемычки).

Зависимость  $B_0 \delta$  от координаты  $x$  определяется из (14):

$$(B_0 \delta)^2 = \frac{2\mu_0}{\sigma V b^2} \int_0^x j_x^2 dx. \quad (18)$$

Объединяя (17) и (18), находим искомое решение для перепада напряжения на участке электрода.

Работа выполнена при финансовой поддержке Российского фонда фундаментальных исследований (код проекта 96-02-16842).

## ЛИТЕРАТУРА

1. **Лебедев А. Д., Урюков Б. А.** Импульсные ускорители плазмы высокого давления. Новосибирск: Ин-т теплофизики СО АН СССР, 1990.
2. Материалы II Всесоюз. семин. по динамике сильноточного дугового разряда в магнитном поле. Новосибирск, 1991.
3. Гороховский В. И., Урюков Б. А. О явлении скин-эффекта в рельсотронах и импульсных плазменных ускорителях // Изв. СО АН СССР. Сер. техн. наук. 1980. № 13, вып. 3. С. 13–15.
4. Камке Э. Справочник по обыкновенным дифференциальным уравнениям. М.: Наука, 1965.
5. Goodman T. R. The heat-balance integral and its application to problems involving a change of phase // Trans. ASME. 1958. V. 80, N 2. P. 335–342.
6. Чунг Б. Т. Ф., Сяо Дж. С. Задача о распространении тепла в пластине конечной толщины при наличии аблации // Аэрокосм. техника. 1985. Т. 3, № 11. С. 128–134.
7. Клейн К. А., Джентилмен Р. Л. Использование интегрального метода теплового баланса для определения формы кратеров, возникающих в графите под действием излучения лазера // Аэрокосм. техника. 1987. № 11. С. 76–85.

*Поступила в редакцию 11/XII 1996 г.*